

## GRANIČNA NOSIVOST ŠTAPOVA ISPUNE REŠETKASTIH KONSTRUKCIJA

Đorđe Đuričić<sup>1</sup>, Dr; Dragoslav Arsović<sup>2</sup>, MSc; Nemanja Bralović<sup>3</sup>, MSc; Duško Lučić<sup>4</sup>, Dr;

<sup>1</sup> Visoka Škola strukovnih studija Užice, Užice, SRBIJA, e-mail: djordje.djuricic@vpts.edu.rs

<sup>2</sup> Visoka Škola strukovnih studija Užice, Užice, SRBIJA, e-mail: dragoslav.arsovici@vpts.edu.rs

<sup>3</sup> Građevinski fakultet Subotica, Subotica, SRBIJA, e-mail: nemanjabralovic@hotmail.com

<sup>4</sup> Univerzitet Crne Gore, Građevinski fakultet Podgorica, CRNA GORA, e-mail: dlucic@ac.me

### Rezime:

U radu je data analiza proračunske nosivosti šapova rešetkastih konstrukcija od CHS profila u zavarenoj izradi. Određivanje proračunske nosivosti kod rešetkastih konstrukcija se svodi na proračun prema EN1993-1-1, za centrično pritisnute šapove sa uticajem izvijanja i proračun prema EN1993-1-8 za proračunska nosivost čvora rešetkaste konstrukcije. Za centrično pritisnute elemente, vrednost proračunske nosivosti predstavljena je novim dijagramima nosivosti šapova u kojima je data vrednost proračunske nosivosti pritisnutog elementa na izvijanje u zavisnosti od dužine izvijanja elementa u konstrukciji. Predloženi dijagrami na jednostavan način omogućuju uvid u iskorušenost usvojenih šapova rešetke, a pravilnim izborom profila pružaju mogućnost racionalizacije konstrukcije.

Vrednost proračunske nosivosti šapa ispune rešetkaste konstrukcije mora da zadovolji dva uslova: prvi uslov je da ne dođe do izvijanja pritisnutog šapa ispune kao samostalnog elementa, a drugi je da ne dođe do plastifikacije čvora, odnosno prekомерне deformacije pojasnog šapa u čvoru ili do loma zavarene veze. Proračunska nosivost čvora rešetkaste konstrukcije zavisi od više faktora: odnosa prečnika i debljina zidova pojasnih šapova i šapova ispune, rastojanja šapova ispune u čvoru (eng. gap), ekscentriteta veze i nagibnog ugla šapova ispune prema pojasmnom štalu.

U radu je prikazan način proračuna nosivosti za K - čvor, za oba uslova dostizanja granične nosivosti, izvijanjem ili plastifikacijom čvora. Preko odgovarajućih dijagrama dat je jednostavan postupak za proračun i utvrđivanje da li je za dostizanje granične nosivosti šapa ispune merodavno njegovo izvijanje ili plastifikacija pojasnog šapa u čvoru rešetke.

**Ključne reči:** Rešetkaste konstrukcije, K - čvor, izvijanje, granična nosivost

## 1 OPŠTE

Za elemente rešetkaste konstrukcije od šupljih profila koriste se:

- Kružni šuplji profili, eng. circular hollow sections (CHS),
- Pravougaoni šuplji profili, eng. rectangular hollow sections (RHS) i
- Kvadratni šuplji profili, eng. square hollow sections (SHS).

Kružni cevasti profili se sve više koriste u izgradnji rešetkastih konstrukcija. Odlične osobine kružni profil pruža u pogledu nosivosti na pritisak, savijanje i uvijanje. Takođe kružni oblik je neprevaziđen u pružanju otpora dejstvu veta i talasa. Zahvalan je oblik koji daje velike mogućnosti atraktivnog arhitektonskog oblikovanja. Kako nema oštih ivica kružni profili se bolje koroziono zaštićuju i trajnija je nanesena zaštita.

Kružni oblik daje mogućnost direktnog spajanja profila međusobno tako da se omogućuje izrada lakih i elegantnih konstrukcija koje su i ekonomski isplativije od konstrukcija sa otvorenim profilima. Primeri takvih konstrukcija su dati na slikama 1 i 2 [3].



Slika 1: Paviljon u Sevilji, Španija

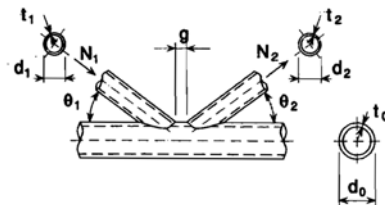


Slika 2: Aeodrom Bangkok, Tajland

## 2 PROJEKTOVANJE KONSTRUKCIJA OD ŠUPLJIH CEVASTIH PROFILA

### 2.1 Karakteristike K-čvora, projektovanje i proračun čvorova rešetke

U radu je analiziran K-čvor rešetkastog nosača od CHS profila. Na slici 3 su date oznake geometrijskih veličina K-čvora.

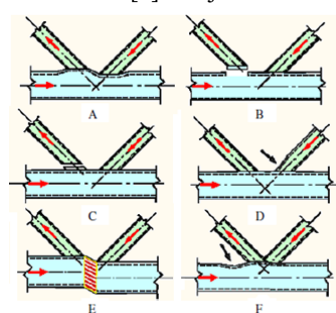


Slika 3: Oznake dimenzija K čvora

Pojasni štap ima prečnik  $d_0$  i debljinu zida  $t_0$ , pritisnuta dijagonala prečnik  $d_1$  i debljinu zida  $t_1$ , zategnuta dijagonala prečnik  $d_2$  i debljinu zida  $t_2$ . Napadni uglovi dijagonala su  $\theta_1$  i  $\theta_2$ . Razmak između dijagonala je  $g$  (eng. gap).

#### 2.1.1 Modeli loma K čvora rešetkaste zavarene konstrukcije od cevastih profila

Packer i dr. [3] imaju šest režima loma za vezu tipa K prikazanih na slici 4.



- Režim A: Plastifikacija zida pojasnog štapa ;
- Režim B: Lom pojasnog štapa po obodu pritisnute ili zategnute dijagonale;
- Režim C: Lom štapa dijagonale ili pucanje šava na dijagonalni;
- Režim D: Lokalno izvijanje pritisnute dijagonale;
- Režim E: Smicanje pojasnog štapa usled velikog razmaka između cevi u čvoru;
- Režim F: Plastifikacija zida pojasnog štapa kod preklopjenih štapa.

Za rešetkaste konstrukcije sa K čvorovima najčešći slučaj loma je režim A, a kontrola se vrši i za režim B [3-4].

Slika 4: Režimi loma K čvora

Proračun granične sile u štapovima ispune K čvora

Za potpunu analizu pritisnutih štapova ispune rešetkaste konstrukcije potrebno je odrediti graničnu nosivost u dva nezavisna slučaja, a to su:

- granična nosivost štapa uzimajući u obzir uticaj izvijanja,
- kontrola granične nosivosti u štalu ispune iz uslova da ne dođe do plastifikacije ili prekomerne deformacije pojasnog štapa u čvoru.

Sličnu analizu treba sprovesti i za zategnute štапove, samo bez uticaja izvijanja.

Proračun pritisnutih i zategnutih štapova prema Evrokodu definisan ju u EN1993 deo 1-1 [1] a proračun granične sile u čvoru je definisan u EN1993 deo 1-8 [2].

#### 2.1.2 Proračunska nosivost štapa ispune K čvora rešetkaste zavarene konstrukcije od cevastih profila (CHS) prema EN 1993- 1-8 [2]

Proračunska nosivost zavarenih veza između elemenata ispune i pojasnih štapova kod kružnih šupljih profila je data izrazom.

$$N_{1,Rd} = \frac{k_g k_p f_{y0} t_0}{\sin \theta_1} \left( 1.8 + 10.2 \frac{d_1}{d_0} \right) / \gamma_{M5} \quad (1)$$

U izrazu (1) koeficijent  $k_g$  je koeficijent zavistan od razmaka profila ( $g$ ) i parametara pojasne cevi  $d_0$  i  $t_0$

$$k_g = \gamma^{0.2} \left[ 1 + \frac{0.024\gamma^{0.24}}{1 + \exp(0.5g/t_0 - 1.33)} \right] \quad (2)$$

gde je :

$$\gamma = \frac{d_0}{2t_0} \quad (3)$$

U izrazu (1) koeficijent  $k_p$  je koeficijent napona u pojasmnom štapu za  $n_p > 0$  - pritisak

$$k_p = 1 - 0.3n_p(1 + n_p), \quad k_p \leq 1 \quad (4)$$

gde je :  $n_p$ -koeficijent napona

$$n_p = \frac{\sigma_{p,Ed}}{f_{y,0}} \quad (5)$$

gde je :

$$\sigma_{p,Ed} = \frac{N_{p,Ed}}{A_0} \quad (6)$$

u izrazu (6)  $A_0$  je površina pojasnog štapa, a  $N_{p,Ed}$  proračunska vrednost sile pritiska u pojasmnom štapu.  
za  $n_p < 0$  – zatezanje,  $k_p = 1$ .

### 2.1.3 Proračunska nosivost štapova ispune sa uticajem izvijanja prema EN1993 -1-1 [1]

Granična nosivost je data izrazom:

$$N_{b,Rd} = \chi \cdot N_{c,Rd} = \chi \cdot \frac{A \cdot f_y}{\gamma_{M1}} \quad (7)$$

Gde je:

$N_{b,Rd}$ -granična nosivost štapa sa uticajem izvijanja

Bezdimenzionalni koeficijent izvijanja  $\chi$  dat je izrazom

$$\chi = \frac{1}{\Phi + \sqrt{\Phi^2 - \lambda^2}} \quad (8)$$

gde je:

$$\Phi = 0.5 \cdot \left[ 1 + \alpha \cdot (\bar{\lambda} - 0.2) + \bar{\lambda}^2 \right] \quad (9)$$

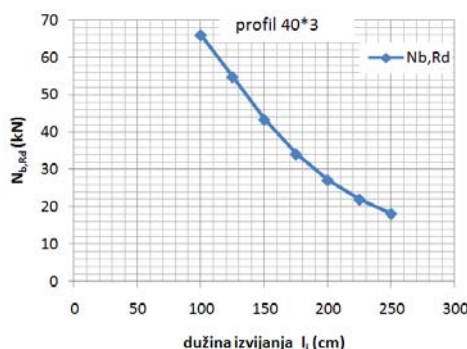
krive izvijanja i parametri za proračun su dati u EN 1993 1-1 [1].

## 2.2 Primer određivanja proračunske nosivosti štapova ispune

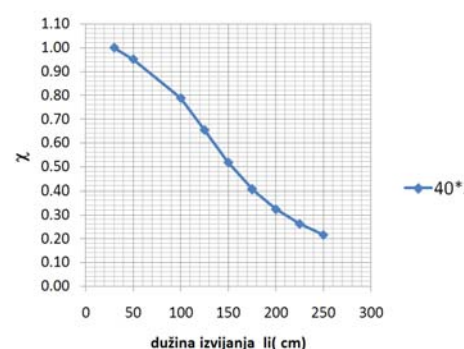
### 2.2.1 Proračun granične sile u štalu ispune sa uticajem izvijanja - $N_{b,Rd}$

Analiziran je štap ispune od cevastog profila  $\phi 40 \times 3$ . Proračunska nosivost  $N_{b,Rd}$  prema (7-9) zavisi samo od vrste profila i koeficijenta izvijanja, a koji zavisi samo od vitkosti profila, odnosno od njegove dužine izvijanja. Na osnovu toga zaključujemo da se za svaki profil može konstruisati dijagram zavisnosti granične nosivosti  $N_{b,Rd}$  i dužine izvijanja profila u konstrukciji. Na slici 5, date su vrednosti proračunske nosivosti  $N_{b,Rd}$  profila  $\phi 40 \times 3$  za dužine izvijanja 100, 125, 150, 175, 200, 225 i 250 cm i prikazane na dijagramu.

Takođe, može se za određeni profil odrediti dijagram zavisnosti dužine izvijanja i koeficijenta  $\chi$ . Za analizirani profil  $\phi 40 \times 3$  ta zavisnost je data na slici 6.



Slika 5: Zavisnost li i  $N_{b,Rd}$



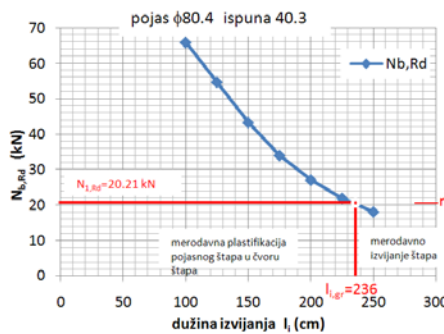
Slika 6: Zavisnost li i  $\chi$

### 2.2.2 Proračun granične sile u štalu ispune za plastifikaciju pojasnog štapa – $N_{1,Rd}$

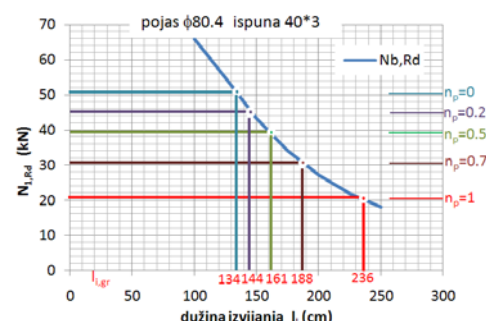
Izrazi potrebnici za proračun granične nosivosti dati su od (1) do (6). Vrednost granične nosivosti profila, pored određenih konstantnih geometrijskih i fizičko mehaničkih parametara, zavisi od dva koeficijenta  $k_g$  i  $k_p$  i nagibnog ugla dijagonale. Usvojen je nagibni ugao od  $\theta=45^\circ$ . Koeficijent  $k_g$  dat u (2) je zavistan od razmaka profila ( $g$ ) i dimenzija pojasne cevi  $d_0$  i  $t_0$ . Razmak između profila je uzet tako da je ekscentricitet veze u čvoru jednak nuli. Takvi, centrisani čvorovi se i preporučuju prilikom projektovanja rešetkastih konstrukcija. Na osnovu tako usvojene vrednosti za  $g$  i ugao  $\theta$  dobija se konstantna vrednost koeficijenta  $k_g$ . Promena vrednosti granične sile  $N_{1,Rd}$  sada samo zavisi od koeficijenta  $k_p$ . Koeficijent  $k_p$  zavisi od vrednosti napona u pojasmnom štalu. Ako uzmemo granični slučaj, kada je  $n_p=1.0$ , a to se dešava pri potpunom iskorišćenju napona u pojasmnom štalu, dobijamo najmanju vrednost granične nosivosti  $N_{1,Rd}$  u slučaju plastifikacije pojasnog štapa.

### 2.2.3 Zajedničko razmatranje kriterijuma za određivanje granične nosivosti

Za pojasišni štap od profila  $\phi 80 \times 4$  određena je nosivost  $N_{1,Rd}$  za vrednost  $n_p=1$  i naneta na dijagram prikazan na slici 6. Sa dijagrama se vidi gde je granična dužina izvijanja  $l_{i,gr}$ . Granična dužina izvijanja je vrednost dužine izvijanja pri kojoj se istovremeno događa granična nosivost po oba uslova, i izvijanjem štapa i plastifikacijom čvora. Ako je dužina izvijanja štapa manja od granične dužine izvijanja merodavna je plastifikacija čvora rešetke, ako je dužina izvijanja štapa veća od granične dužine izvijanja merodavno je izvijanje štapa. To je prikazano na slici 7.



Slika 7: Vrednost  $l_{i,gr}$  za  $n_p=1$



Slika 8: Vrednost  $l_{i,gr}$  za  $n_p=1$

Na slici 8 date su vrednosti granične dužine izvijanja  $l_{i,gr}$  za vrednosti koeficijenta  $n_p=0$ ,  $n_p=0.25$ ,  $n_p=0.5$ ,  $n_p=0.75$ ,  $n_p=1$ . Sa smanjenjem koeficijenta  $n_p$  povećava se proračunska nosivost čvora, a smanjuje vrednost granične dužine izvijanja, odnosno povećava se uticaj izvijanja štapa na proračunsku nosivost. Na osnovu dijagrama možemo zaključiti da se poznavajući koeficijent  $n_p$  može odrediti granična dužina izvijanja  $l_{i,gr}$  i ustanoviti kako se dostiže granična nosivost, izvijanjem štapa ili plastifikacijom čvora.

## 2.2.4 Proračun primenom koeficijenta redukcije napona $\chi$

Koeficijent redukcije napona kod izvijanja štapa označimo sa  $\chi_b$  (indeks b nam govori da je ovo koeficijent dobijen preko proračunske nosivosti za izvijanje štapa). Oba koeficijenta  $\chi_1$ , koji se odnosi na plastifikaciju čvora i  $\chi_b$ , koji se odnosi na izvijanje daju odnos proračunske nosivosti prema maksimalnoj nosivosti preseka štapa.

Šta se dešava kada su koeficijenti redukcije isti  $\chi_1=\chi_b$ . Tada je  $N_{1,Rd}=N_{b,Rd}$ . Odnosno, merodavna proračunska nosivost je ista i za plastifikaciju čvora i za izvijanje štapa. Sa tim je definisana, kao što smo prethodno naglasili i granična dužina izvijanja  $l_{i,gr}$ . Kako prikazujemo sve na jednom dijagramu pisaćemo  $\chi$  bez indeksa.

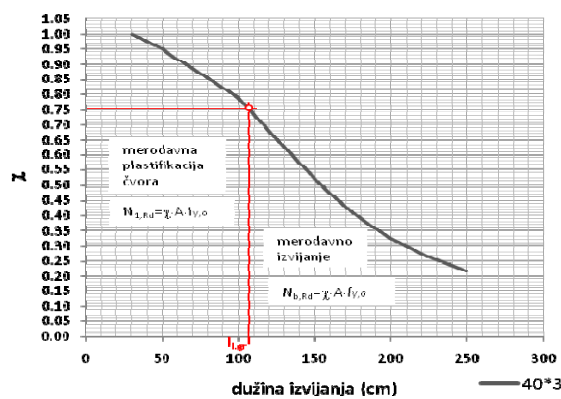
Ako je na primer  $\chi=0.75$ , nanošenjem na dijagram sa slike 6, dobija se granična dužina od 108 cm. Za manje dužine štapa od granične dužine ( $l_i < l_{i,gr}$ ) za određivanje proračunske nosivosti merodavna je plastifikacija čvora, a za veće dužine od granične dužine ( $l_i > l_{i,gr}$ ) merodavno je izvijanje. To je prikazano na slici 9.

Ako je dužina štapa ispune kraća od 108 cm tada je merodavna plastifikacija čvora i vrednost granične proračunske nosivosti štapa ispune je

$$N_{1,Rd} = \chi \cdot N_{c,Rd} = \chi \cdot \frac{A \cdot f_y}{\gamma_{M1}} = 0.75 \cdot \frac{3.49 \cdot 24}{1} = 62.82 \text{ kN} \quad (10)$$

i ta sila mora biti veća od računske sile u štalu ispune.

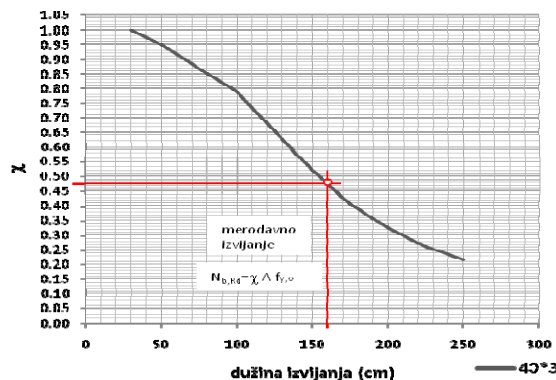
U slučaju da je dužina štapa ispune veća od 108 cm tada je merodavno izvijanje štapa i vrednost granične proračunske nosivosti štapa ispune je  $N_{b,Rd}$  prema (7).



Slika 9: Određivanje granične dužine  $l_{i,gr}$  za  $\chi=0.75$

Na primer, dužina izvijanja štapa ispune je 160 cm, a to je veće od 108 cm. Merodavno je izvijanje. Povlačimo liniju sa  $l_i=160$  cm na dijagram, a zatim za tu vrednost očitamo vrednost parametra  $\chi$  i na osnovu njega izračunamo vrednost proračunske nosivosti na izvijanje. Čitamo sa dijagrama  $\chi=0.46$  pa je proračunska nosivost

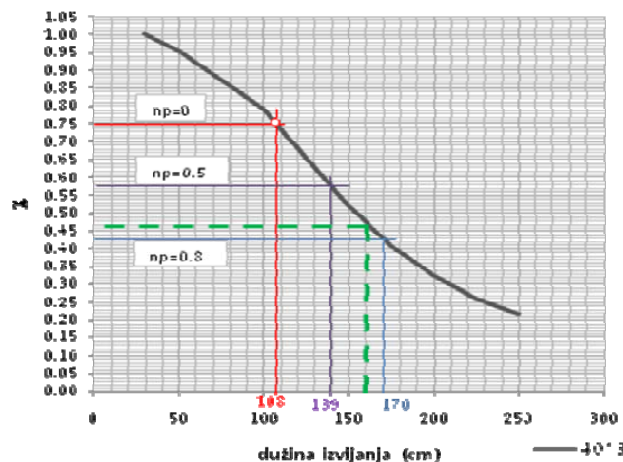
$$N_{b,Rd} = \chi \cdot N_{c,Rd} = \chi \cdot \frac{A \cdot f_y}{\gamma_{M1}} = 0.46 \cdot \frac{3.49 \cdot 24}{1} = 38.53 \text{ kN} \quad (11)$$



Slika 10: Određivanje koeficijenta redukcije  $\chi$  za  $l_i=160$  cm

Za vrednost  $np=0.5$  sledi da je  $\chi=0.58$  i dobijamo da je druga vrednost granične dužine izvijanja. Ali i dalje je  $l_{gr}$  manje od dužine izvijanja štapa koja je usvojena (160 cm) što znači da je merodavno izvijanje štapa, gde bi opet bilo  $\chi=0.46$ .

Za vrednost  $np=0.8$  sledi da je  $\chi=0.43$  i dobijamo da je granična dužina izvijanja  $l_{gr}=170$ . Sada je  $l_{gr}$  veće od 160 cm i merodavna je plastifikacija čvora odnosno sila  $N_{1,Rd}=0.43*A*f_y/\gamma_M1$ . To je prikazano na slici 11.



Slika 11: Vrednosti koficijenta  $\chi$  i dužine  $l_{gr}$  za  $np=0$ ,  $np=0.5$  i  $np=0.8$

Ako izračunamo vrednosti  $\chi$  za razne vrednosti  $n_p$ , za sve štapove koji mogu da se kombinuju sa štapom ispune 40x3 a čiji je zid debljine 4 mm dobijamo sledeću tabelu 1.

Tabela 1: Vrednost  $\chi$  u odnosu na razne vrednosti  $n_p$

| $40*3$  | $\chi$ |      |      |      |      |      |      |      |      |      |      |
|---------|--------|------|------|------|------|------|------|------|------|------|------|
| $np$    | 0      | 0.1  | 0.2  | 0.3  | 0.4  | 0.5  | 0.6  | 0.7  | 0.8  | 0.9  | 1    |
| $160*4$ | 0.41   | 0.40 | 0.38 | 0.36 | 0.34 | 0.32 | 0.29 | 0.26 | 0.23 | 0.20 | 0.19 |
| $120*4$ | 0.58   | 0.56 | 0.54 | 0.51 | 0.48 | 0.45 | 0.41 | 0.37 | 0.33 | 0.28 | 0.23 |
| $100*4$ | 0.64   | 0.62 | 0.59 | 0.56 | 0.53 | 0.49 | 0.45 | 0.41 | 0.36 | 0.31 | 0.25 |
| $80*4$  | 0.75   | 0.73 | 0.70 | 0.67 | 0.63 | 0.58 | 0.54 | 0.48 | 0.43 | 0.37 | 0.30 |
| $60*4$  | 1.00   | 0.96 | 0.92 | 0.88 | 0.83 | 0.77 | 0.71 | 0.64 | 0.56 | 0.48 | 0.40 |

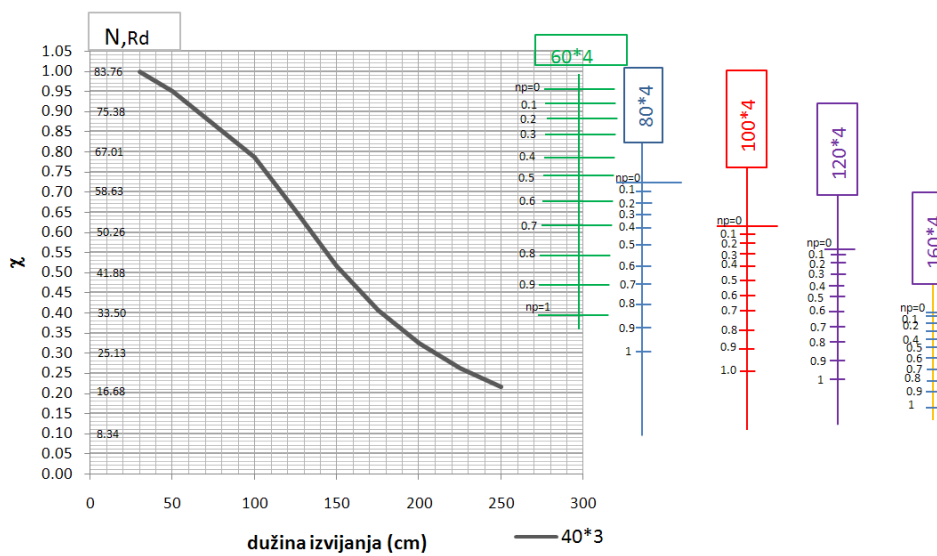
Ako dobijene vrednosti uskladimo i nanesemo na dijagram u obliku nonograma dobijamo podlogu sa koje direktno možemo da proverimo graničnu nosivost štapa ispune po oba kriterijuma kao što je prikazano na slici 12.

#### Primer:

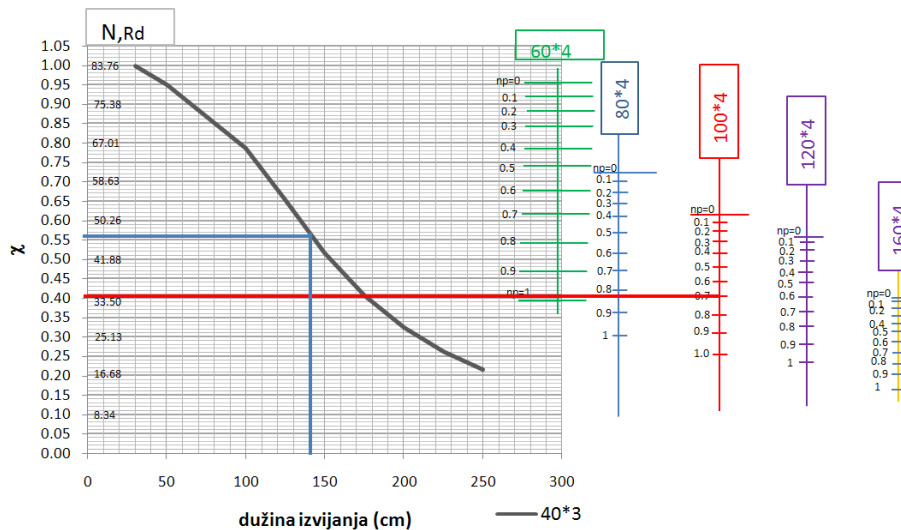
Pojas rešetke je od profila  $\phi 100 \times 4$  a štapovi ispune su  $\phi 40 \times 3$  mm. Uglovi su  $\theta_1=\theta_2=45^\circ$ . Ekscentricitet je  $e=0$ . Sile u dijagonalnim štapovima su  $N_{1,Ed}=30$  kN i  $N_{2,Ed}=-30$  kN. Koeficijent  $n_p=0.7$ . Dužina pritisnutog štapa ispune je 140 cm. Izvršićemo određivanje proračunske nosivosti pritisnutog štapa ispune pomoću dijagrama na slici 13.

#### Rešenje:

Za  $n_p=0.7$  i pojasti profil  $\phi 100 \times 4$  na dijagramu povlačimo horizontalnu liniju i očitavamo vrednost bezdimenzionalnog koeficijenta  $\chi$ . Vrednost je  $\chi=0.40$ . Za dužinu izvijanja  $l_i=140$  cm, povlačimo liniju do krive a zatim horizontalno i odredimo vrednost koeficijenta  $\chi$ . U ovom slučaju  $\chi=0.55$ . Znači, merodavna je plastifikacija pojasa, granična sila je oko 33.50 kN, što je veće od proračunske nosivosti  $N_{1,Ed}=30$  kN. Postupak određivanja granične nosivosti štapa ispune prikazan je na slici 13.



Slika 12: Određivanje granične nosivosti N<sub>Rd</sub> za razne kombinacije profila



Slika 13: Prikaz postupka određivanja granične nosivosti štapa ispune

Koefficijent redukcije napona za veći odnos prečnika pojasnog štapa i štapa ispune je konstantno mali i presek nije iskorišćen pri malim dužinama štapova. Potpuno je neracionalno usvajati takav odnos prečnika cevi. Racionalan odnos štapova pojasa i ispune je u slučaju kada su vrednosti za koeficijent redukcije  $\chi$  približne.

### 3 ZAKLJUČCI

Korišćenjem dijagrama i tabela odnosa koeficijenta redukcije napona  $\chi$  i dužine izvijanja za pojedine štapove ispune može se na vrlo brz način odrediti merodavni koeficijent redukcije  $\chi$  i samim tim i proračunska nosivost štapa  $N_{Rd}$ , kao i na koji način je ona dostignuta, plastifikacijom čvora ili izvijanjem.

Postojanje ovakvih dijagrama nam daje pregledniju sliku o kombinacijama štapova u rešetkastim konstrukcijama. Pavilnim izborom štapova (a to je kada su koeficijenti redukcije po oba kriterijuma slične vrednosti) racionališe se konstrukcija.

Projektantima se nudi lak postupak za projektovanje, čitajući sa dijagrama koeficijente za čije određivanje bi bilo potrebno dosta vremena. Samim tim i mogućnost računskih grešaka je svedena na minimum.

Dijagrami se mogu koristiti i kada je potrebno proračunati štap samo na izvijanje, jednostavno čitajući za određenu dužinu štapa koeficijent redukcije napna  $\chi$ .

Za vrednost koeficijenta redukcije napona  $\chi=1$  dobija se granična nosivost štapa na zatezanje.

Nedostatak je što se dijagrami i tabele odnose na jedan profil štapa, pa je potrebno napraviti dijagrame za sve štapove iz kataloga i za njihove veze sa raznim pojasnim štapovima. Ovo bi se jednom uradilo i uvek bi služilo za proračun. Olakšanje su preporuke za izbor kombinacija debljina zida i prečnika cevi, što smanjuje broj kombinacija.

Analizirani dijagrami se odnose na ugao  $\theta=45^\circ$  i  $e=0$ , za druge uglove i ekscentricitete veze u čvoru potrebno je uraditi posebne dijagrame ili uvesti faktor promene koeficijenta redukcije  $\chi$  u odnosu na već definisane dijagrame.

## LITERATURA

- [1] EN 1993-1-1: *Eurocode 3: Design of steel structures - Part 1-1: General rules and rules for buildings*
- [2] EN 1993-1-8: *Eurocode 3 - Design of steel structures - Part 1-8: Design of joints*
- [3] J. Wardenier, Y. Kurobane, J.A. Packer, D. Dutta and N. Yeomans, *Design guide for circular hollow section (CHS) joints under predominantly static loading (I)*, CIDECT (Ed.) and Verlag TÜV Rheinland, Hämeenlinna, 1991.
- [4] Rautaruukki Oyj, H.V. Design Handbook for Rautaruukki Structural Hollow Sections, Hämeenlinna, 1998.